

名古屋工業大学 正員 中井照夫
正員 松岡元

土質力学の分野では一般に平均主応力一定のモードで応力比が変化する場合の挙動をせん断現象と呼び、応力比一定のモードで平均主応力が変化する場合の挙動を圧密現象と呼んでいる。3主応力下の土のせん断挙動について、すでに空向滑動面(SMP)¹⁾に基づいた新たなるひずみ増分量($dE_{SMP}^c, dE_{SMP}^{ac}$)とSMP上でのせん断・垂直応力比 $\tau_{SMP}^{c, ac}$ の間にユニークな関係があることを見出しつつ、せん断時の応力・ひずみ関係式を規定している。ここでは、土の圧密挙動について、異方圧密時の土のダイレイターンシー特性がせん断時のそれと類似していることに着目し、圧密時の応力・ひずみ関係式を説明する。さらに、任意応力経路下の土のひずみがせん断によるひずみと圧密によるひずみの重ね合わせて表現できるとして、3主応力下の一般的な応力・ひずみ関係式を提案する。

1. 圧密時の応力・ひずみ関係式

圧密時の主ひずみ増分 dE_i^c を次式で示すように等方圧縮による成分 $dE_i^{c(0)}$ と異方圧密時に生じるダイレイターンシーによる成分 $dE_i^{c(ac)}$ の和で表わされると考える。

$$dE_i^c = dE_i^{c(0)} + dE_i^{c(ac)} \quad (i=1, 2, 3) \quad (1)$$

ここで、等方圧縮による成分は、よく知られている両端比 e へ平均主応力 σ_m と肉の勾配 C_c ($\sigma_m < 0$ の時は C_s)を用いて次式で表わされる。

$$dE_i^{c(0)} = \frac{0.434}{3} \cdot \frac{C_c}{1+e_0} \cdot \frac{d\sigma_m}{\sigma_m} \quad (i=1, 2, 3) \quad (2)$$

$(e_0: 初期両端比, C_c: 圧縮係数, C_s: 膨張係数)$

次に、ダイレイターンシーによる成分については、せん断時と異方圧密時の土のダイレイターンシー特性が類似しているという点に着目し、せん断時同様SMPに基づくひずみ増分量($dE_{SMP}^c, dE_{SMP}^{ac}$)によってユニークに規定できると考え、式を試みる。さて、せん断時の応力比 X ・ひずみ γ_{SMP} 関係および応力比・ひずみ増分比関係は次式で表される。

$$\gamma_{SMP}^* = \gamma_0^* \cdot \left\{ \exp\left(\frac{X - \mu^*}{\mu^* - \mu^*}\right) - \exp\left(\frac{-\mu^*}{\mu^* - \mu^*}\right) \right\} \quad (3)$$

$$\frac{dE_{SMP}}{d\sigma_m} = (\mu^* - X) / \mu^* \quad (X \equiv \tau_{SMP} / \sigma_{SMP}) \quad (4)$$

ここに、 $\lambda^*, \mu^*, \mu^{**}$ は試料が決まればほぼ一定となる係数であるが、 μ^* は平均主応力の肉の勾配として次式のように表わされる。

$$\gamma_0^* = \gamma_{0i}^* + C_{0i}^* \cdot \log_{10}(\sigma_m / \sigma_{mi}) \quad (5)$$

$(\sigma_{mi}: 初期平均主応力, \gamma_{0i}^*: \sigma_m = \sigma_{mi} \text{ 時の} \gamma^*)$

いま、式(5)を考慮して式(3)の全微分をとれば次式を得る。

$$d\gamma_{SMP}^* = \frac{\gamma_0^*}{\mu^* - \mu^*} \cdot \exp\left(\frac{X - \mu^*}{\mu^* - \mu^*}\right) dX + 0.434 \cdot C_{0i}^* \left\{ \exp\left(\frac{X - \mu^*}{\mu^* - \mu^*}\right) - \exp\left(\frac{-\mu^*}{\mu^* - \mu^*}\right) \right\} \frac{d\sigma_m}{\sigma_m} \quad (6)$$

式(6)において右辺第1項はせん断時の γ_{SMP}^* を表わしているので、第2項を圧密によるひずみ増分量 dE_{SMP}^{ac} とみることもできる。しかし式(6)は完全微分であり γ_{SMP}^* が応力経路に依存しないことを表わしている。実測値によれば γ_{SMP}^* が応力経路依存性を示すことがあるので、1つの方法とし

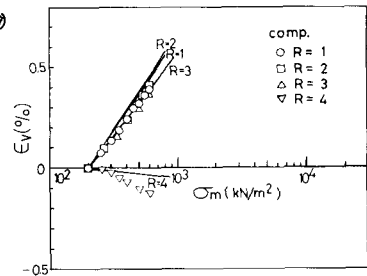


図-1. 異方圧密試験の体積ひずみ
・平均主応力関係(三軸圧縮条件)

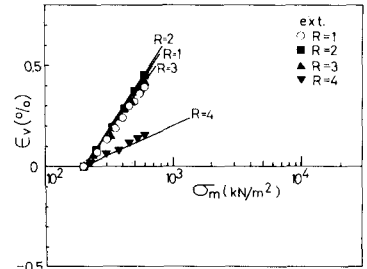


図-2. 異方圧密試験の体積ひずみ
・平均主応力関係(三軸伸張条件)

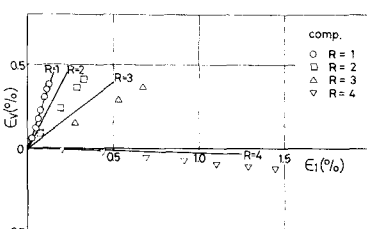


図-3. 異方圧密試験の体積ひずみ
・最大ひずみ関係(三軸圧縮条件)

で λ^* を別の係数 K_c に置き換えた式で圧密時ひずみ増分量 dE_{SMP}^{+c} を与える。(K_c の決定法は後述する。)

$$dE_{SMP}^{+c} = 0.434 \cdot K_c \cdot \left\{ \exp\left(\frac{X - \mu^*}{\mu^* - \mu^*}\right) - \exp\left(\frac{-\mu^*}{\mu^* - \mu^*}\right) \right\} \cdot \frac{d\sigma_m}{\sigma_m} \quad (7)$$

また dE_{SMP}^{+c} はせん断時同様式(4)の関係を満足すると考え次式で与える。

$$dE_{SMP}^{+c} = \{(\lambda^* - X)/\lambda^*\} \cdot dE_{SMP}^{+c} \quad (8)$$

したがって、SMP上の E_{SMP} , E_{SMP} の方向余弦をそれぞれ a_i , b_i ($i=1, 2, 3$) とすれば dE_i^{+c} は次式で表わされる。

$$dE_i^{+c} = a_i \cdot dE_{SMP}^{+c} + b_i \cdot dE_{SMP}^{+c} \quad (i=1, 2, 3) \quad (9)$$

さて係数 K_c は、 K_0 圧密状態では式(1), (2), (9)で与えられる dE_i^{+c} が 0 となることより、 K_0 値と土質係数の関数として決定することができる。^{2,3)}

また、任意応力経路下の土の主ひずみ増分はせん断時のひずみ増分 dE_i^s と上述の圧密時のひずみ増分 dE_i^{+c} の和として次式で表わされる。

$$dE_i = dE_i^s + dE_i^{+c} \quad (i=1, 2, 3) \quad (10)$$

2. 提案式の実験データによる検証

実験に用いた試料はやや湿り気のない乾燥した整備砂である。提案式の土質係数は、2種の平均主応力一定の三軸圧縮試験と等方圧密試験により、以下のように決定した。 $\lambda^* = 0.9$, $\mu^* = 0.27$, $\mu^{**} = 0.41$, $\gamma_{0,i}^* = 0.10\%$ ($\sigma_m = 29 \text{ kN/m}^2$) $C_d^* = 0.066\%$, $C_S/(1+e_0) = 0.928\%$, $C_S/(1+e_0) = 0.578\%$ また K_0 値は Jaky の式 ($K_0 = 1 - \tan \phi$: $\phi = 40^\circ$) により決定した。なお以下の図でプロットは実測値を、実験は提案式による計算結果を表す。図-1～4は三軸圧縮・伸張条件下的異方圧密試験($\sigma_3 = 3\sigma_1$)結果を示したものである。図-1, 2 に見られるように、体積ひずみ ϵ_v は $R = 2$ でわずかながら圧縮側に寄り、その後応力比が大きくなるにつれて強側に移るというダイレーランシー特性を提案式によく説明している。また両図より図-2の非排水せん断試験の主応力比 R は三軸圧縮条件では $R = 3 \sim 4$ 、三軸伸張条件では $R = 4$ 以上といふことに至る。図-5～7 は三軸圧縮・伸張条件下的非排水せん断試験の有効応力経路と主応力比・主ひずみ関係を示したものである。図中には排水試験から得られる破壊強度を一点錐線で示しているが、非排水せん断試験の応力経路は、実測値も計算値も破壊線に至らず、上述の $\epsilon_v = 0$ なる異方圧密経路に近づく応力経路となる。したがって、正のダイレーランシー特徴を示す土では排水強度 σ_u > 非排水強度 σ_u' となり両者は一致しないことに至る。このようなる事実は古田・輕井によっても指摘されている。また $P_{u,comp} = P_{u,ext}$ であっても $\phi_{comp} < \phi_{ext}$ となる実測値の傾向を、提案式によく説明している。多軸応力下の異方圧密試験および他の応力経路下の試験については、紙面の都合で当日発表する予定である。

謝辞 卒業研究として本研究を行なった名工大学部生 金谷賢生
(京大大学院), 鈴木誠(清水建設)両君に感謝致します。

- 参考文献
- 1) Matsuoka, Nakai (1977): Proc. Specialty Session 9, 9th ICSMFE, pp. 153~162
 - 2) 中井松岡・中島・山内 (1977): 第13回国土開拓工学研究発表会, pp. 373~376
 - 3) 中井松岡・南・横井 (1979): 第14回国土開拓工学研究発表会,
 - 4) 古田・輕井 (1976): 第3回国土壤学会年次講演会, pp. 54~59

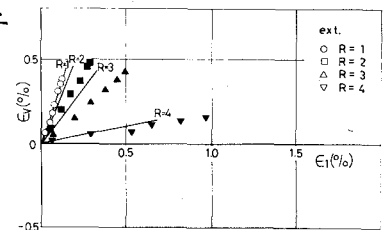


図-4. 異方圧密試験の体積ひずみ・最大主ひずみ関係(三軸伸張条件)

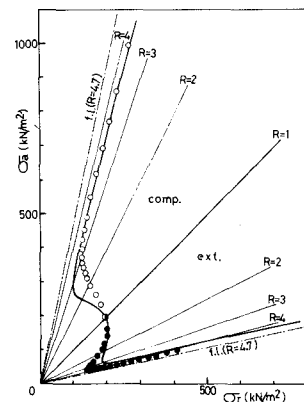


図-5. 非排水試験の有効応力経路

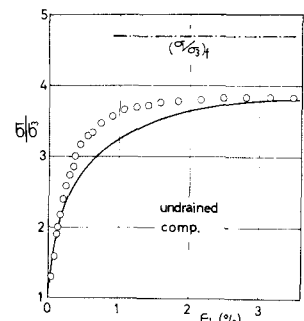


図-6. 非排水試験の主応力比・最大主ひずみ関係(三軸圧縮条件)

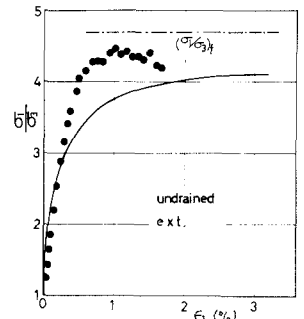


図-7. 非排水試験の主応力比・最大主ひずみ関係(三軸伸張条件)